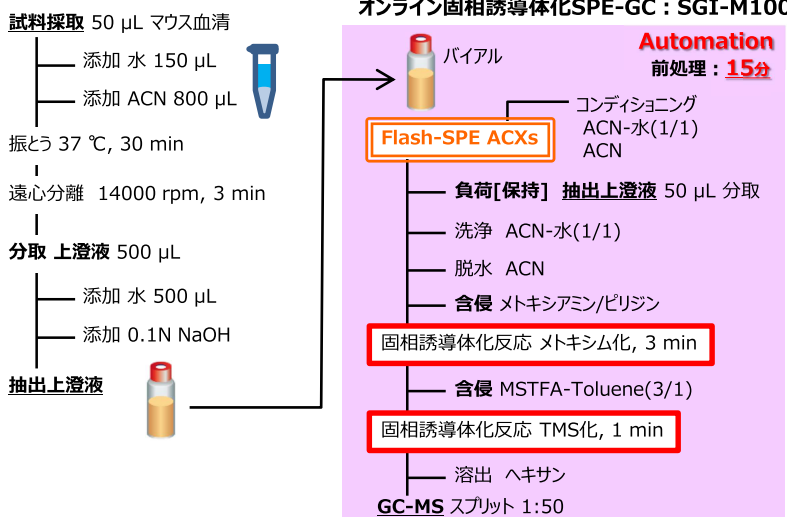


オンライン固相誘導体化SPE-GC/MSによる マウス血清の分析の評価

はじめに

従来のメタボロームにおけるGC/MS分析において、抽出・凍結乾燥・誘導体化に煩雑かつ長時間を要し得られるデータのはらつきも大きい傾向があった。そこで当社は独自技術「**固相誘導体化**」により劇的に時短・簡易・高精度を実現した。代謝物等をイオン交換相互作用で固相に保持し、アセトニトリルで通液することで脱水・洗浄効果が得られ、その後、**固相に保持状態で誘導体化試薬を含侵させることで誘導体化**し溶出液をGC/MSで測定する。今回はこれらの工程を完全自動化したシステムSGI-M100を用いマウス血清の代謝物分析を試みた。

前処理フロー



測定条件

| | |
|----------------|---|
| PTV Injector | LVI-S250 (AISTI Science) |
| Insert Type | Spiral Insert |
| Injector Temp. | 220°C(0.5min)-50°C/min-290°C(16min) |
| GC-MS | |
| Inlet Mode | Split 1:50 |
| Flow Mode | Constant Flow, 1 ml/min |
| Pre-Column | 0.25mm i.d. × 1m |
| Column | Vf-5ms, 0.25mm i.d. × 30m, df; 0.25μm |
| Oven Temp. | 100°C(2min)-10°C/min-220°C-30°C/min-320°C |
| Trans. Temp. | 290°C |
| MS Method | SCAN, m/z:70-470 |

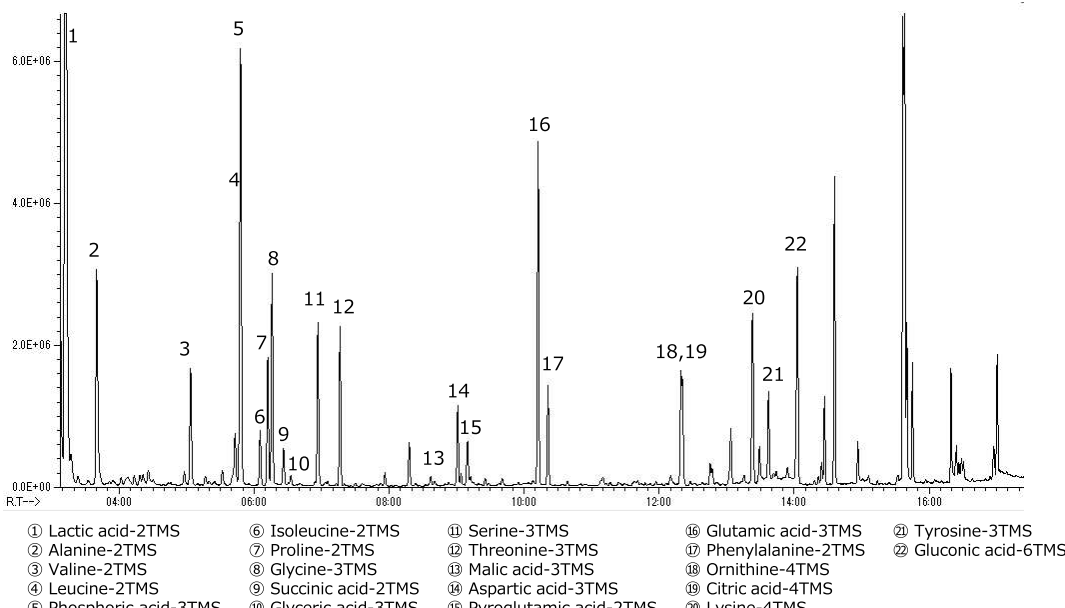


図1 本法によるマウス血清のSCANトータルイオンクロマトグラム



SGI-M100
for SPE-GC system

Sample



Information

【試料】

- マウス血清

【対象成分】

- アミノ酸
- アミン
- 有機酸

AISTI SCIENCE

Product

オンラインSPE-GC
SGI-M100

固相カートリッジ
Flash-SPE

GC大量注入装置
LVI-S250

株式会社アイスティサイエンス

TEL: 073-475-0033

E-mail: as@aisti.co.jp

www.aisti.co.jp

AiSTI Application Note

表1 本システムによるマウス血清の添加回収試験

| No. | 成分名 | Standard | 操作Blank | マウス血清 | マウス血清+ST | 回収率,% |
|-----|-----------------------|-----------|-----------|------------|------------|--------------|
| | | ST | B | M | A | (A-M)/(ST-B) |
| 1 | Lactic acid-2TMS | 2,641,331 | 2,044,267 | 14,805,790 | 11,895,241 | - |
| 2 | Alanine-2TMS | 2,526,424 | 84,451 | 4,971,432 | 6,847,093 | 77 |
| 6 | Valine-2TMS | 3,223,917 | 8,177 | 2,224,994 | 5,182,605 | 92 |
| 9 | Leucine-2TMS | 3,806,169 | 9,760 | 3,940,497 | 7,217,079 | 86 |
| 10 | Isoleucine-2TMS | 3,483,014 | 5,009 | 958,681 | 4,444,077 | 100 |
| 11 | Proline-2TMS | 3,349,273 | 6,613 | 3,008,108 | 5,928,827 | 87 |
| 12 | Glycine-3TMS | 2,822,020 | 38,903 | 3,192,716 | 5,175,424 | 71 |
| 14 | Succinic acid-2TMS | 5,442,569 | 51,260 | 607,407 | 6,159,930 | 103 |
| 15 | Fumaric acid-2TMS | 1,886,256 | 3,365 | 11,533 | 1,967,128 | 104 |
| 16 | Serine-3TMS | 1,763,290 | 19,550 | 1,451,277 | 3,032,036 | 91 |
| 17 | Threonine-3TMS | 584,437 | 2,454 | 484,176 | 957,064 | 81 |
| 18 | Malic acid-3TMS | 610,728 | 1,773 | 18,302 | 629,151 | 100 |
| 20 | Aspartic acid-3TMS | 2,929,674 | 5,116 | 784,543 | 3,822,406 | 104 |
| 21 | Methionine-2TMS | 321,403 | 1,578 | 77,627 | 321,294 | 76 |
| 22 | 4-Hydroxyproline-3TMS | 2,400,683 | 122 | 54,733 | 1,997,473 | 81 |
| 23 | GABA-3TMS | 808,381 | 5,804 | 9,875 | 776,441 | 96 |
| 25 | Threonic acid-4TMS | 331,448 | 417 | 27,125 | 202,330 | 53 |
| 27 | Glutamic acid-3TMS | 2,350,172 | 2,555 | 3,437,586 | 6,150,075 | 116 |
| 28 | Phenylalanine-2TMS | 1,457,813 | 1,404 | 690,541 | 2,098,341 | 97 |
| 31 | Putrescine-4TMS | 4,356,542 | 1,610 | 9,512 | 4,597,459 | 105 |
| 33 | Citric acid-4TMS | 911,581 | 660 | 216,437 | 1,160,422 | 104 |
| 36 | Lysine-4TMS | 1,587,702 | 1,259 | 940,190 | 2,675,748 | 109 |
| 37 | Histidine-3TMS | 2,194,472 | | 10,446 | 3,240,581 | 147 |
| 38 | Tyrosine-3TMS | 4,650,501 | 1,959 | 1,175,034 | 5,939,201 | 102 |
| 41 | Tryptophan-3TMS | 230,794 | 0 | 29,096 | 398,017 | 160 |
| 43 | Cystine-4TMS | 2,142,088 | 0 | 14,728 | 2,196,172 | 102 |

表2 本システムによるマウス血清の再現性

| No. | 成分名 | U1 | U2 | U3 | U4 | U5 | Ave. | RSD,% |
|-----|-----------------------|------------|------------|------------|------------|------------|------------|-------|
| 1 | Lactic acid-2TMS | 14,649,682 | 15,089,600 | 13,841,394 | 15,639,698 | 14,808,578 | 14,805,790 | 4.4 |
| 2 | Alanine-2TMS | 5,118,252 | 4,719,988 | 4,790,287 | 5,126,762 | 5,101,869 | 4,971,432 | 4.0 |
| 6 | Valine-2TMS | 2,261,504 | 2,125,119 | 2,152,889 | 2,285,552 | 2,299,904 | 2,224,994 | 3.6 |
| 9 | Leucine-2TMS | 4,005,604 | 3,817,067 | 3,780,734 | 4,039,212 | 4,059,866 | 3,940,497 | 3.3 |
| 10 | Isoleucine-2TMS | 971,384 | 928,534 | 931,475 | 980,243 | 981,767 | 958,681 | 2.8 |
| 11 | Proline-2TMS | 3,078,401 | 2,818,958 | 2,910,867 | 3,100,657 | 3,131,659 | 3,008,108 | 4.5 |
| 12 | Glycine-3TMS | 3,243,322 | 2,973,200 | 3,083,005 | 3,312,366 | 3,351,687 | 3,192,716 | 5.0 |
| 14 | Succinic acid-2TMS | 609,722 | 610,940 | 585,493 | 627,168 | 603,713 | 607,407 | 2.5 |
| 15 | Fumaric acid-2TMS | 11,626 | 11,149 | 10,691 | 11,947 | 12,254 | 11,533 | 5.4 |
| 16 | Serine-3TMS | 1,466,003 | 1,327,848 | 1,366,049 | 1,533,536 | 1,562,951 | 1,451,277 | 7.1 |
| 17 | Threonine-3TMS | 497,778 | 441,900 | 461,299 | 506,740 | 513,163 | 484,176 | 6.4 |
| 18 | Malic acid-3TMS | 19,076 | 18,062 | 17,173 | 18,728 | 18,470 | 18,302 | 4.0 |
| 20 | Aspartic acid-3TMS | 745,837 | 821,214 | 711,854 | 825,260 | 818,549 | 784,543 | 6.7 |
| 21 | Methionine-2TMS | 71,255 | 66,983 | 76,059 | 92,889 | 80,950 | 77,627 | 12.9 |
| 22 | 4-Hydroxyproline-3TMS | 54,583 | 47,943 | 51,238 | 58,569 | 61,333 | 54,733 | 9.9 |
| 23 | GABA-3TMS | 10,265 | 8,742 | 9,675 | 10,265 | 10,430 | 9,875 | 7.0 |
| 25 | Threonic acid-4TMS | 28,177 | 28,501 | 22,545 | 29,638 | 26,765 | 27,125 | 10.2 |
| 27 | Glutamic acid-3TMS | 3,365,311 | 3,486,693 | 3,156,198 | 3,603,886 | 3,575,843 | 3,437,586 | 5.3 |
| 28 | Phenylalanine-2TMS | 682,545 | 669,938 | 666,324 | 718,207 | 715,692 | 690,541 | 3.6 |
| 31 | Putrescine-4TMS | 9,970 | 9,716 | 9,256 | 8,922 | 9,694 | 9,512 | 4.4 |
| 33 | Citric acid-4TMS | 212,800 | 218,960 | 209,116 | 224,337 | 216,971 | 216,437 | 2.7 |
| 36 | Lysine-4TMS | 926,298 | 906,996 | 922,350 | 974,013 | 971,295 | 940,190 | 3.2 |
| 37 | Histidine-3TMS | 10,802 | 9,595 | 9,636 | 10,237 | 11,959 | 10,446 | 9.4 |
| 38 | Tyrosine-3TMS | 1,192,371 | 1,093,010 | 1,123,091 | 1,241,557 | 1,225,141 | 1,175,034 | 5.5 |
| 41 | Tryptophan-3TMS | 29,187 | 29,591 | 28,393 | 29,027 | 29,282 | 29,096 | 1.5 |
| 43 | Cystine-4TMS | 15,113 | 14,209 | 13,349 | 15,634 | 15,333 | 14,728 | 6.4 |

【結果と考察】 各成分のRSD. (再現性) は13%未満となり高精度といえる。また、26成分中22成分で添加回収率が70~120%、残る4成分も50~200%に収まった。TICではピーク形状および分離も良好であった。これらの結果から固相抽出による洗浄・脱水が機能的に働き、固相内で効率的に誘導体化が行われている事が推察できる。脂質等が多く含まれるサンプルでも良好が結果が得られた事からGC/MSメンテナンス労力の軽減となる。当分析法は固相誘導体化により精度の向上や時間短縮という効果が得られ、自動化による効率化も見込める。弱点だった前処理の煩雑・長時間を克服したことでGC/MSのメリットである高分離・高い定性能力・データベースの充実などを最大限に生かせる手法となると考えられ、今後の生体試料中の代謝物分析への適用に期待できる。